

II-28 アーチダム越流頂末端段縫付近の剝離にについて

電研 正員 水嶋増男

1. 緒言. アーチダム段落水流の堤頂部形状に当たつては、段縫点附近における急変流の安定性に関する要素が考慮される。本報告では、水門流出の二次元定常流の模型について、その段縫水深および段縫部附近の堤表面の圧力、層流境界層の安定性に関する特性を検討した。

ダム越流頂付近の二次元流の水理解析は、一次元流の Euler の運動方程式および Bernoulli's energy 方程式より速度分布式が得られ、近似的に水流は鉛直方向の曲率半径を Free Vortex および一次、二次、多項式で仮定するなど次のように表わされる。

$$a. \text{Free Vortex.} \quad \dots(1) \quad b. r = \frac{1}{hs}(R_s - R_e)h + R_e \text{とき, } U = \sqrt{2g(E + Y - hs \cos \theta)} \left[\frac{R_s}{(R_s - R_e)h + R_e} \right]^{hs/(R_s - R_e)} \quad \dots(2)$$

$$g = \frac{1}{(R_s - R_e - hs)} h_s R_s \sqrt{2g(E + Y - hs \cos \theta)} \left\{ R_s - R_e \left[\frac{1}{(R_s - R_e)} \right] \right\} \quad \dots(2)' \quad \left(\frac{hs}{R_s - R_e} \neq 0 \right), \quad c. r = ah^2 + bh + c$$

$$\frac{1}{\sqrt{E^2 - 4ac}} \ln \left[(2ah + b - \sqrt{E^2 - 4ac}) / (2ah + b + \sqrt{E^2 - 4ac}) \right] \quad \dots(3) \quad (b^2 > 4ac),$$

$$\text{とき, } U = \frac{\sqrt{2g(E + Y - hs \cos \theta)} e}{\frac{1}{\sqrt{E^2 - 4ac}} \ln \left[(2ah + b - \sqrt{E^2 - 4ac}) / (2ah + b + \sqrt{E^2 - 4ac}) \right]} \quad \dots(3)' \quad (b^2 < 4ac),$$

$$U = \frac{\frac{2}{\sqrt{4ac - b^2}} \arctan \left[(2ah + b) / \sqrt{4ac - b^2} \right]}{\frac{2}{\sqrt{4ac - b^2}} \arctan \left[(2ah + b) / \sqrt{4ac - b^2} \right]} \quad \dots(3)'' \quad (b^2 < 4ac). \quad \text{ここで, } a, b, c \text{ は任意定数, } E \text{ は頂点上の energy, } hs \text{ は流水断面上の任意水深,}$$

hs は水面下の水深, g は単位幅当りの流量, r は流水断面上の任意流線の曲率半径, R_s, R_e は水面、堤面に沿う流線の曲率半径, U は流水断面上の potential flow の速度分布, Y は頂点から任意堤面下の鉛直距離, θ は堤面接線と水平線とのなす角度, g は重力の加速度。その他の解析法としては、複素 Potential および flow net による方法等が供されると、特に free vortex の仮定は述べておらずないが、著者は任意の不規則な形状に対する free vortex の仮定は実験値と比較して急変部を除いては近似的に極めてよく従う結果を得ている。しかししながら、ダム越流頂に対する理論式を実証することは困難である。

2. 段縫水深 段縫水深（落水点水深、末端水深、end depth, terminal depth, brink depth）に関する研究は、矩形断面水路、三角形断面水路、台形断面水路、円形断面水路、拡張断面水路等の場合について広範な研究が行われていて、しかししながら、いずれも鉛直曲率の影響を含まない場合であるが、アーチダム段落水流に、これ等の解析結果を直接適用することは困難である。アーチダム段縫水深に対する (1) 式の仮定に基づいて、堤表面に沿う流線が段縫点で大気圧となることから段縫水深を求めること次のよう表わすことができる。

$$U_e = \frac{1}{(R_e + hs)} R_e \sqrt{2g(E + Y_e)}, \quad \dots(4) \quad P_{\infty} = (E + Y_e) \left[1 - \frac{R_e^2}{(R_e + hs)^2} \right] - hs \cos \theta_e, \quad \dots(5)$$

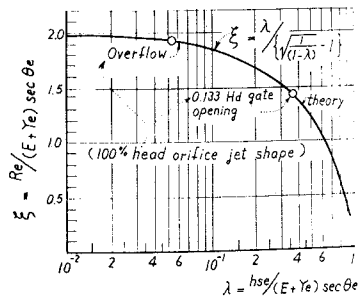


図-1

$$P_{hs}/W = 0, \text{ すなはち } hse/R_e = \alpha_e \text{ とおき}, \quad hse = (E + Y_e) \left[1 - \frac{1}{(1+\alpha_e)^2} \right] \sec \theta_e. \quad (6)$$

$$\frac{1}{\sqrt{2g}(E+Y_e)^{\frac{3}{2}}} \delta \cos \theta_e = \frac{1}{(1+\alpha_e)^2} \left[(2+\alpha_e) \ln (1+\alpha_e) \right]. \quad (7) \quad \delta = \lambda / \left[\sqrt{\frac{1}{(1-\lambda)}} - 1 \right]. \quad (8)$$

$\lambda = \frac{R_e}{(E+Y_e) \sec \theta_e}$, $\lambda = hse/(E+Y_e) \sec \theta_e$, hse 段縁水深上の任意点の水深, hse は水面までの段縁水深, P_{hs}/W 段縁水深上の任意点の圧力水頭, P_{hs}/W 段縁水深上の水面流線の圧力水頭(気圧), V_L 段縁水深上の速度分布, R_e は堤表面正沿う流線の段縁点における曲率半径, θ_e 段縁点における堤面接線と水平線とのなす角度。故に、(6), (7), (8)式より段縁水深の関係は、無次元量 $\delta \cos \theta_e / [\sqrt{2g}(E+Y_e)^{\frac{3}{2}}]$ によって決定される。これは段縁水深に対する段縁点表面正沿う流線、曲率半径が幾何学的要素 Y_e , θ_e と堤頂点上の energy E , 流量 Q によるものである。段縁堤体の有する曲率半径と全く無関係であり、 E が一定の場合、門扉開度の増加とともに、急変流の変化量が増大する事は明白であることを示している。

模型による実験結果上、二の理論値の比較を行なったものが図-1であり、段縁水深に対する極めてよく一致する結果を得ている。 R_e が門扉小開度の場合上、全開の場合と丁度の通り異なり、(a) では、門扉開度を零に近づけると、段縁堤体の曲率半径は接近する事が図-1からも明確に見られる。(二の模型実験に用ひた堤頂部形状は、設計水頭 100 percent head + orifice jet shape である)、堤表面の energy loss に関する厳密計算を行なうと $(E+Y_e) \sec \theta_e = \text{定数} (T^2 \log T)$ (T は T 倍) である。

一定勾配水路における段縁付近の急変流の解析法は、運動量方程式により運動量係数 Γ を用いて、
Critical depth, normal depth, end depth, 圧力係数により導かれ整理されており、~~同様に~~ 二次元流の x 方向の運動量方程式を変形して(9)式により(1)式の仮定の適用に基づくと(10)式のように表わされる。

$$W \cos \theta_e \int_0^{hse} P_{hs}/W \, dhse + P \cos \theta_e \int_0^{hse} V_L^2 \, dhse - W \cos \theta_{L,0} \int_0^{hsl,0} P_{hs}/W \, dhsl,0 - P \cos \theta_{L,0} \int_0^{hsl,0} V_{L,0}^2 \, dhsl,0 - W \int_0^{L_e} hsl,0 \sin \theta_{(e-L_e)} \cos \theta_{(e-L_e)} \, dL + \int_0^{L_e} T_{(e-L_e)} \cos \theta_{(e-L_e)} \, dL = 0. \quad (9)$$

$$(E+Y_e) \left[hse + R_e \left(1 - \frac{R_e}{R_e + hse} \right) \right] \cos \theta_e - \frac{1}{2} (hse \cos \theta_e)^2 - hsl,0 (E+Y_{L,0}) \left(\frac{hsl,0}{R_{L,0}} + 2 \right) \cos \theta_{L,0} + hsl,0^2 \left(\frac{hsl,0}{R_{L,0}} + 1.5 \right) \cos^2 \theta_{L,0} - \frac{L_e}{2} (hse + hsl,0) \cdot \sin \left(\frac{\theta_e + \theta_{L,0}}{2} \right) \cos \left(\frac{\theta_e + \theta_{L,0}}{2} \right) + \int_0^{L_e} T_{(e-L_e)} \cos \theta_{(e-L_e)} \, dL = 0. \quad (10) \quad \delta = \sqrt{2g(E+Y_{L,0}-hsl,0 \cos \theta_{L,0})} \ln \frac{(R_{L,0}+hsl,0)}{R_{L,0}}. \quad (11)$$

$\Gamma = \Gamma_e$, V は流水断面上の potential flow の速度分布, P は水の密度, L_e は段縁点から任意流水断面までの堤面正沿う短い距離, L は堤面正沿う距離, R は堤表面正沿う流線の曲率半径, T は堤表面摩擦係数, suffix 記号は、e は段縁点, L は急変流内の任意流水断面位置, 0 は急変流上流端の normal flow の位置, S は水面, 正表示する。従って、(1)式の仮定を用いて上述の理論によると、段縁付近の境界層は定常の圧力 $(E+Y)$, θ_e , δ , R_e の函数として求められる。

3. 段縁付近の境界層。この段縁付近に沿う流れの函数 $f(\eta)$ は二次元定常流の境界層の常微分方程式は、Falkner, Skan により取扱われた層流境界層方程式から導かれて、 η 項を有する次のよう常微分方程式に従うことが示された。

$$f''' + \alpha f f'' + \beta (1-f')^2 - \gamma = 0. \quad (12)$$

$\alpha, \beta, \gamma, \eta$ は次の函数で表わされる。

$$\alpha = \frac{1}{U_m} L g \frac{d}{dx}(Ug), \quad \beta = \frac{1}{U_m} L g^2 \frac{dU}{dx}, \quad \gamma = \frac{1}{\rho U_m} L g^2 \frac{dY}{dx}, \quad \eta = \frac{1}{Lg} Y \sqrt{\frac{1}{\rho} U_m L}, \quad \dots \quad (1)$$

$\gamma = 1$ のときに対する無次元尺度要素, L は x に対する無次元量のための特性長, U は potential flow の x の速度分布, U_m は U に対する無次元量のための速度, Y は頂点を原点とした堤表面曲線, ρ は水の密度, η は y の相似無次元変数. この相似解が実在するための potential flow の速度分布およびその尺度要素 η は次式のように導かれ.

$$U = \left[K^{3/(2\alpha-\beta)} \left[-\frac{1}{L} (2\alpha-\beta) \right] \right]^{\beta/(2\alpha-\beta)} x^{\beta/(2\alpha-\beta)}. \quad \dots \quad (4)$$

$$g = \sqrt{(2\alpha-\beta) \frac{x}{L} \frac{U_m}{U}}. \quad \dots \quad (5)$$

K は定数である.

この越流頭正沿い境界層の相似解は、任意の α 又は β 値の仮定を考へることにより (4), (5) 式と上式 (3) 式は等しく、potential flow $\frac{U}{U_m}$ の函数および g が与えられた、その他の函数 U と Y はよって、境界層内の速度分布が変化されてゆく。剝離点に関する古くから論じられてゐる問題である。この越流頭。剝離点に関する (4) 式と各の場合について解くことがいま困難であるうえ、P4-method の poiseuille の近似解法はなく、越流頭の場合の shape factor A を導く。

$$\mu \left(\frac{\partial^2 u}{\partial y^2} \right)_{y=0} = \frac{dp}{dx}, \quad \left(\frac{\partial^2 u}{\partial y^2} \right)_{y=0} = \frac{1}{\delta^2} 2 \delta U, \quad b = \frac{\delta^2}{2 \mu U} \frac{dp}{dx} = -\frac{1}{2} \text{となる}, \quad A = -\frac{dp}{dx} \frac{\delta^2}{\mu U}. \quad \dots \quad (6)$$

ここで、 μ は P4-method の η^2 項の係数、 U は境界層の速度分布、 U は外端の potential flow の x の速度分布、 dp/dx は境界層の圧力勾配、 δ は境界層の厚さ、 μ は粘性係数。

4. 設計水頭の 75 percent head の orifice jet 墓頭曲線の考察。墓頭部形状は設計水頭に基づき standard, orifice jet, irregular 等の shape が用いられる誤りがあるが、アーチダムに水門を設けた場合の orifice jet shape が用いられる。このしたがい能力を大きくするため、設計水頭を減す場合が多い。 $\gamma = T$ 75 percent head に対して orifice jet 曲線を取りつけた模型にて、門扉小開度下で、上述の考察を行なったものが表-1、図-2、図-3、図-4 である。

このように設計水頭を 75 percent head に減じると、段縫近傍の微小距離下局所的現象が起つて $A = -4.1883$ まで低下するなど表-1 のようなられ。normal flow の位置においても境界層の圧力は逆圧力勾配の状態となり、A 以下の領域となる。この結果は剝離よりも、速度変動の不安定擾乱領域に関する問題である。

5. 結論

船底水流を有するアーチダム堤頭部に当たつては、段縫附近に沿う境界層が極めて重要な問題である。流量係数能力を良くするためには設計水頭を減じて取る場合がある。 $\gamma = T$ 設計水頭を 25 percent 減じて 75 percent head orifice jet shape を用いると、段縫附近に沿う境界層の圧力は逆圧力勾配の状態になり、段縫近傍の局所的現象位置における $A = -4.1883$ まで低下するなど正明確に示されている。この結果は、このようにして、段縫附近に逆圧力勾配になつて、境界層剥離の現象は全く起らなくなつて、 $R_{st} \rightarrow \infty$ に対して γ 不安定擾乱領域の実在するといが明らかであり、設計上極めて重要なことである。

越流頭の安定問題、種々の検討が間もなく現在行なつてゐる。

X座標	A	δ^*	τ
m		$\times 10^{-3} \text{ m}$	$\text{ton/m}^2 \times 10^{-3}$
0.11	-0.0948	0.4770	0.3133
0.12	-0.0967	0.5166	0.2890
0.13	-0.08119	0.5551	0.2690
0.14	-0.08631	0.5916	0.2525
0.14611	0	0.6127	0.2448
0.14613 (+43.7640)	—	—	—
0.14615	0	0.6120	0.2452
0.14617	-4.1883	0.6465	0.1936
0.146183	0	0.6121	0.2452

表 - 1

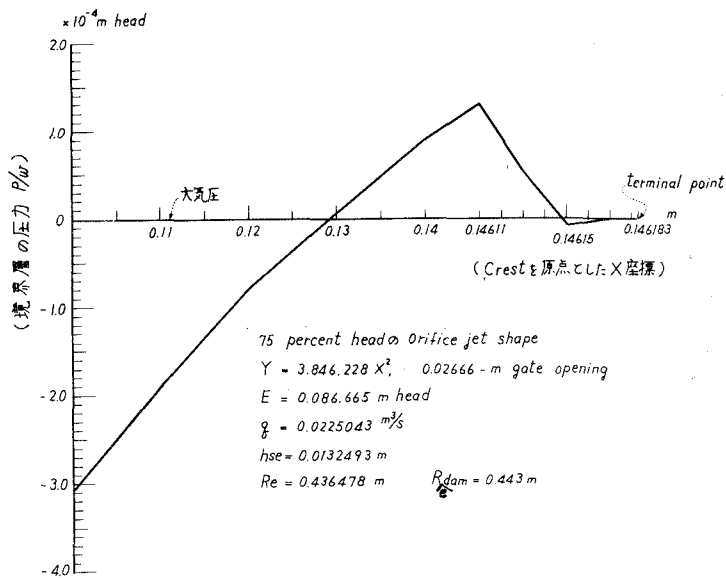


図 - 2 段縁付近の境界層の圧力分布

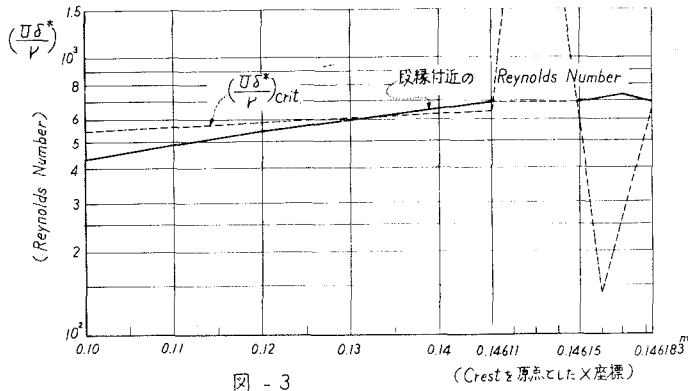


図 - 3

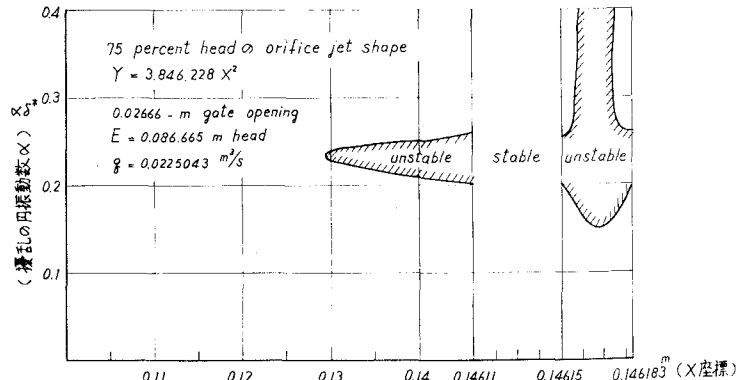


図 - 4 段縁付近の不安定擾乱域